

## بررسی اکسایش سطحی نوار بی‌شکل $\text{Co}_{67}\text{Cr}_7\text{Fe}_4\text{Si}_8\text{B}_{14}$ در طول فرایند بلورینگی\*

محسن حداد سبزواری<sup>(۱)</sup> زهرا جمیلی شیروان<sup>(۱)</sup>**چکیده**

با توجه به این‌که تغییر اکسیژن درون زمینه در طول حرارت‌دهی نوارهای ماده‌ی بی‌شکل منجر به افت شدید خواص مغناطیسی نرم آن‌ها می‌شود، در این پژوهش اکسایش سطحی آلیاز بی‌شکل با ترکیب  $\text{Co}_{67}\text{Cr}_7\text{Fe}_4\text{Si}_8\text{B}_{14}$  (تهیه شده به روش ریخته‌ریسمی نوار عریض *(Planar Flow Melt Spinning)*) در طول فرایند بلورینگی بررسی شده است. ابتدا پایداری حرارتی آلیاز بی‌شکل به روش آنالیز حرارتی *(DTA)* بررسی شد. سپس، نمونه‌هایی از نوار بی‌شکل در دماهای مختلف در محدوده دمایی  $350^{\circ}\text{C}$  تا  $650^{\circ}\text{C}$  با فاصله دمایی  $50^{\circ}\text{C}$  به مدت زمان نیم ساعت در محیط گاز آرگون حاوی ۰.۲٪ درصد اکسیژن تاب کاری شدند. نمونه‌های تاب کاری شده به کمک پراش اشعه *X* *(XRD)*، میکروسکوپ الکترونی رویشی *(SEM)* و دستگاه آنالیز تغییق اندیشه *(EDS)* (بررسی شدند. نتایج حاکی از تشکیل اکسید سطحی از دمای حدود  $550^{\circ}\text{C}$  بودند. اکسید تشکیل شده از نوع  $\text{SiO}_2$  با ماهیت بی‌شکل بود. با افزایش دما تا  $600^{\circ}\text{C}$ ، بر ضخامت و پیوستگی لایه اکسیدی افزوده شد، به‌گونه‌ای که مانع از شناسایی فازهای فازهای تشکیل شده در زمینه در این دما شد. بالاتر از دمای  $600^{\circ}\text{C}$  پرسه‌ی اکسیدی تشکیل شده تا پایدار شد و به‌شکل ورقه‌ای درآمد. در این شرایط، تغییر اکسیژن درون زمینه و ترکیب شدن آن با کپالت و تشکیل اکسید کپالت، مشاهده شد.

**واژه‌های کلیدی:** آلیاز بی‌شکل،  $\text{Co}_{67}\text{Cr}_7\text{Fe}_4\text{Si}_8\text{B}_{14}$ ، بلورینگی، تاب کاری هم‌دما، اکسایش سطحی.

### A Research on Surface Oxidation of $\text{Co}_{67}\text{Cr}_7\text{Fe}_4\text{Si}_8\text{B}_{14}$ Amorphous Ribbon during Crystallization

Z. Jamili-Shirvan

M. Haddad-Sabzevar

**Abstract:**

Deterioration of soft magnetic properties of amorphous ribbons happens when oxygen atoms diffuse in matrix during heat treatment. In this research, surface oxidation of  $\text{Co}_{67}\text{Cr}_7\text{Fe}_4\text{Si}_8\text{B}_{14}$  amorphous ribbons prepared by Planar Flow Melt Spinning (PFMS) process during crystallization was investigated.

In the first step, thermal stability of the ribbons was studied by Differential Thermal Analysis (DTA). Amorphous samples were then annealed isothermally in argon atmosphere with 0.2% oxygen for 30 minutes at the temperature range of 350-650 °C with 50 °C interval. Heat treated samples were studied by X-Ray Diffraction (XRD) analysis, Scanning Electron Microscopy (SEM) and Energy Dispersive Spectroscopy (EDS) analysis. According to the results, surface oxidation started around 550°C. The oxide was found to be  $\text{SiO}_2$  with amorphous structure. An increase in the temperature up to 600°C, no crystalline phases was recognized by XRD in the sample annealed at this temperature, which can be attributed to increasing the thickness and continuity of the oxide layer. For the temperatures above 600°C, the instability and discontinuity of the oxide layer were observed in some areas. In these areas, oxygen diffused in the matrix and combined with cobalt as  $\text{CoO}$ , was also observed.

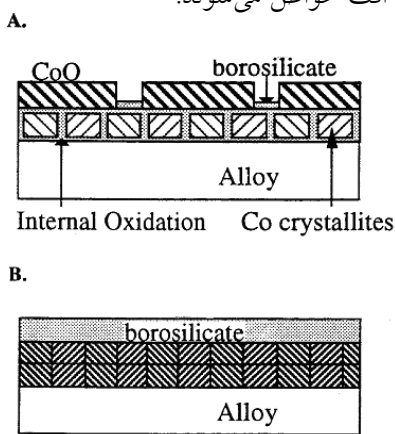
**Key Words:** Amorphous alloy,  $\text{Co}_{67}\text{Cr}_7\text{Fe}_4\text{Si}_8\text{B}_{14}$ , Crystallization, Isothermal annealing, Surface oxidation

\* نسخه‌ی نخست مقاله در تاریخ ۹۱/۴/۸ و نسخه‌ی پایانی آن در تاریخ ۹۲/۲/۳۰ به دفتر نشریه رسیده است.

۱- نویسنده‌ی مسؤول: دانشجوی دکترای مهندسی مواد، گروه مهندسی مواد و متالورژی، دانشکده مهندسی، دانشگاه فردوسی مشهد

۲- دانشیار، گروه مهندسی مواد و متالورژی، دانشکده مهندسی، دانشگاه فردوسی مشهد

نفوذ اکسیژن به طرف لایه‌های زیرین شده و منجر به مصون ماندن ساختار از حضور ناخالصی‌های اکسیدی می‌شود. در شرایطی که لایه‌ی اکسید سطحی غنی از B باشد، سطح را با ترکیب  $B_2O_3$  احاطه می‌کند. از آنجا که این لایه ماهیتی متخلخل دارد، اتم‌های اکسیژن به راحتی به سمت لایه‌های زیرین نفوذ کرده و با تشکیل ناخالصی‌های اکسیدی در مرز دانه‌های کالت بلورین، منجر به افت خواص می‌شوند.



شکل ۱ طرح‌واره‌ای از رفتار اکسایش آلیاژ با ترکیبی شبیه به ترکیب آلیاژ حاضر (A)، مقدار ناکافی بور و سیلیسیم برای تشکیل لایه‌ی بروسیلیکات پیوسته، و مقدار کافی بور و سیلیسیم برای تشکیل لایه‌ی بروسیلیکات پیوسته (B) [8]

خانان، [6]، تشکیل و پایداری پوسته‌های اکسیدی را در دستگاه‌های آلیاژی مطالعه کرده است. وی نشان داده است که جدا شدن پوسته‌ی اکسیدی از سطح در شرایطی رخ می‌دهد که پوسته تحت تنش قرار می‌گیرد. برای ایجاد تنش در پوسته و در نتیجه‌ی آن، جدایش پوسته از سطح و ورقه‌ای شدن آن می‌توان به موارد زیر اشاره کرد:

- نسبت Pilling Bedworth (PBR) که نسبت حجم مولی فلز یا آلیاژ به حجم مولی اکسید می‌باشد. اگر نسبت PBR بزرگ‌تر از یک باشد، تنش فشاری در پوسته ایجاد می‌شود و اگر کوچک‌تر از یک باشد، در آن تنش کششی ایجاد می‌شود.
- اختلاف شبکه‌ی بلوری اکسید و فلز که حین رشد

## مقدمه

آلیاژ‌های بی‌شکل (amorphous) پایه کالت بدیل خواص بی‌نظیر آن‌ها در نتیجه‌ی مغناطوتنگشی نزدیک به صفر، اثر مگنتومیدانس بسیار بالا، در کاربردهای نظری الکترونیک، ساخت حسنگرهای مغناطیسی و ثبت‌کننده‌های مغناطیسی استفاده می‌شوند [1-4].

این دسته از مواد از نقطه نظر ترمودینامیکی شبه پایدارند. بنابراین وقتی در معرض حرارت قرار می‌گیرند، تمایل دارند تا بلورینه شوند. معلوم شده است که خواص مغناطیسی مواد بی‌شکل، نظیر خواص الکتریکی، به شدت تابع ریزساختاری است که در طول فرایند بلورینگی تشکیل می‌شود. از طرف دیگر، اکسید سطحی در شرایطی خاص و حین حرارت دهی ماده‌ی بی‌شکل تشکیل می‌شود. اکسید تشکیل شده ریزساختار لایه‌ی زیرین خود را تحت تأثیر قرار می‌دهد و بنابراین، مطالعه‌ی رفتار اکسایش آن‌ها کار مهمی خواهد بود.

Co<sub>75.26</sub>Fe<sub>4.74</sub>(BSi)<sub>20+x</sub> را در شرایط حرارت دهی زیر دمای بلورینگی بررسی کرده‌اند [5]. آن‌ها نشان داده‌اند که اگر مجموع درصد وزنی عنصرهای بور و سیلیسیم نسبتاً بالا باشد (بیش از ۲۱ درصد)، لایه‌ی پوسته‌ای از فاز بروسیلیکات در سطح آلیاژ بلورینه شده تشکیل می‌شود و اگر تجمع بور و سیلیسیم در سطح کافی نباشد، مخلوطی از فازهای شامل اکسید کالت و بروسیلیکات در سطح ایجاد می‌شوند. شکل (۱) طرح‌واره‌ای از این رفتار را نشان می‌دهد.

هنگامی که مجموع عنصرهای B و Si در سطح آلیاژ بیش از مقدار توزیع بحرانی باشد، ویژگی دیگری در کالت بلورینه شده مشاهده می‌شود که مربوط به نسبت B/Si است. زمانی که اکسید سطحی غنی از Si است، لایه‌ی اکسید سطحی به صورت فازی پیوسته سطح را فرا می‌گیرد. این لایه با ترکیب  $SiO_2$  از نظم کم دامنه با ماهیت بی‌شکل برخوردار است که مانع

از یک لوله‌ی کوارتز به قطر ۲۰ میلی‌متر به عنوان بوته‌ی ذوب، در یک کوره‌ی القایی فرکانس بالا با محیط گاز آرگون مجددأً ذوب شد. بوته‌ی فوق دارای نازل مستطیل شکلی به ابعاد  $0.4 \text{ mm} \times 0.4 \text{ mm}$  بود. پس از ذوب آلیاژ و با دمش گاز آرگون، مذاب بهوسیله‌ی نازل بر روی چرخ مسی به قطر ۲۹۰ میلی‌متر که در فاصله‌ی  $0/25$  تا  $0/35$  میلی‌متری نسبت به نازل قرار داشت، ریخته شد و به این ترتیب، نوارهای پیوسته‌ای به عرض ۲۰ میلی‌متر و ضخامت  $1 \pm 0.05$  میکرومتر تولید شدند. این نوارها در آزمایشگاه انجام دانشکده متالورژی رویال انستیتو تکنولوژی سوئن تهیه شدند [10].

برای پژوهش حاضر، ابتدا آنالیز حرارتی افتراقی (DTA) با مدل 404 NETZSCH گرمایش  $10 \text{ K/min}$  تا دمای  $K$   $1000$  بر روی حدود ۰.۲ گرم از نوار بی‌شکل اویه‌ی انجام شد و دماهای شروع و پایان بلورینگی از آن استخراج شد. سپس، نمونه‌ایی به ابعاد  $0.029 \text{ mm} \times 0.020 \text{ mm} \times 0.030 \text{ mm}$  به طور هم‌دما به مدت نیم ساعت در دمایی بین  $350-650^\circ\text{C}$  و با فاصله دمایی  $50^\circ\text{C}$  تابکاری شدند. در طول حرارت‌دهی نمونه‌ها، از محیط گاز آرگون حاوی  $0/2$  درصد اکسیژن استفاده شد. گاز آرگون با دبی ۶ لیتر بر دقیقه، وارد کوره‌ای با حجم  $150 \times 200 \text{ mm}^3$  شد.

الگوی پراش پرتوی X (XRD) توسط دستگاهی با مدل BRUKER axs، Cu- $\text{k}\alpha$  با استفاده از اشعه‌ی زاویه‌ی پراش ( $2\theta$ ) در محدوده‌ی  $4-120^\circ$  و با گام  $0.03^\circ$ ، از نمونه‌های تابکاری شده تهیه شد.

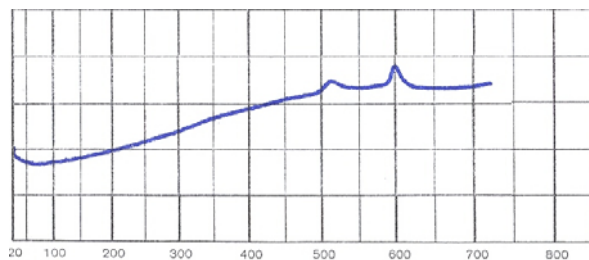
مطالعات میکروسکپ الکترونی روبشی (SEM) و آنالیز تفکیک انرژی (EDS) از نمونه‌های تابکاری شده با استفاده از دستگاه Camscan MV2300 انجام شد. آماده‌سازی نمونه‌ها به روش شستشو با آسیتن و در نهایت، ایجاد رسوب ذرات طلا بر روی سطح انجام شد.

اکسید بر روی زیر لایه، تنشهایی به پوسته‌ی اکسیدی اعمال می‌شود.  
- تبدیل یک نوع اکسید به نوع دیگر حین رشد پوسته‌ی اکسیدی به‌گونه‌ای که دو نوع اکسید با هم اختلاف حجم و چگالی دارند.  
- شکل هندسی قطعه‌ای که در دمای بالا قرار می‌گیرد که در مورد قطعاتی با شکل‌های پیچیده و دارای گوشه‌های تیز مطرح می‌شود.  
- در صورتی که شرایط رشد پوسته‌ی اکسیدی بر روی سطح با نفوذ یون فلزی به‌طرف سطح همراه باشد، جای خالی اتمی در سطح فلز یا آلیاژ باقی می‌ماند و با تجمع این جاهای خالی، حفره‌هایی در مرز بین اکسید و فلز یا آلیاژ تشکیل می‌شوند که جدا شدن لایه‌ی اکسیدی از سطح فلز یا آلیاژ را نتیجه می‌دهند. در صورتی که رشد پوسته در نتیجه‌ی نفوذ اکسیژن به لایه‌های زیرین باشد، پوسته‌ی اکسیدی حین رشد تحت تنش قرار می‌گیرد و اگر نسبت BPR بزرگ باشد، شدت تنشهای ایجاد شده در پوسته بیشتر می‌شود.

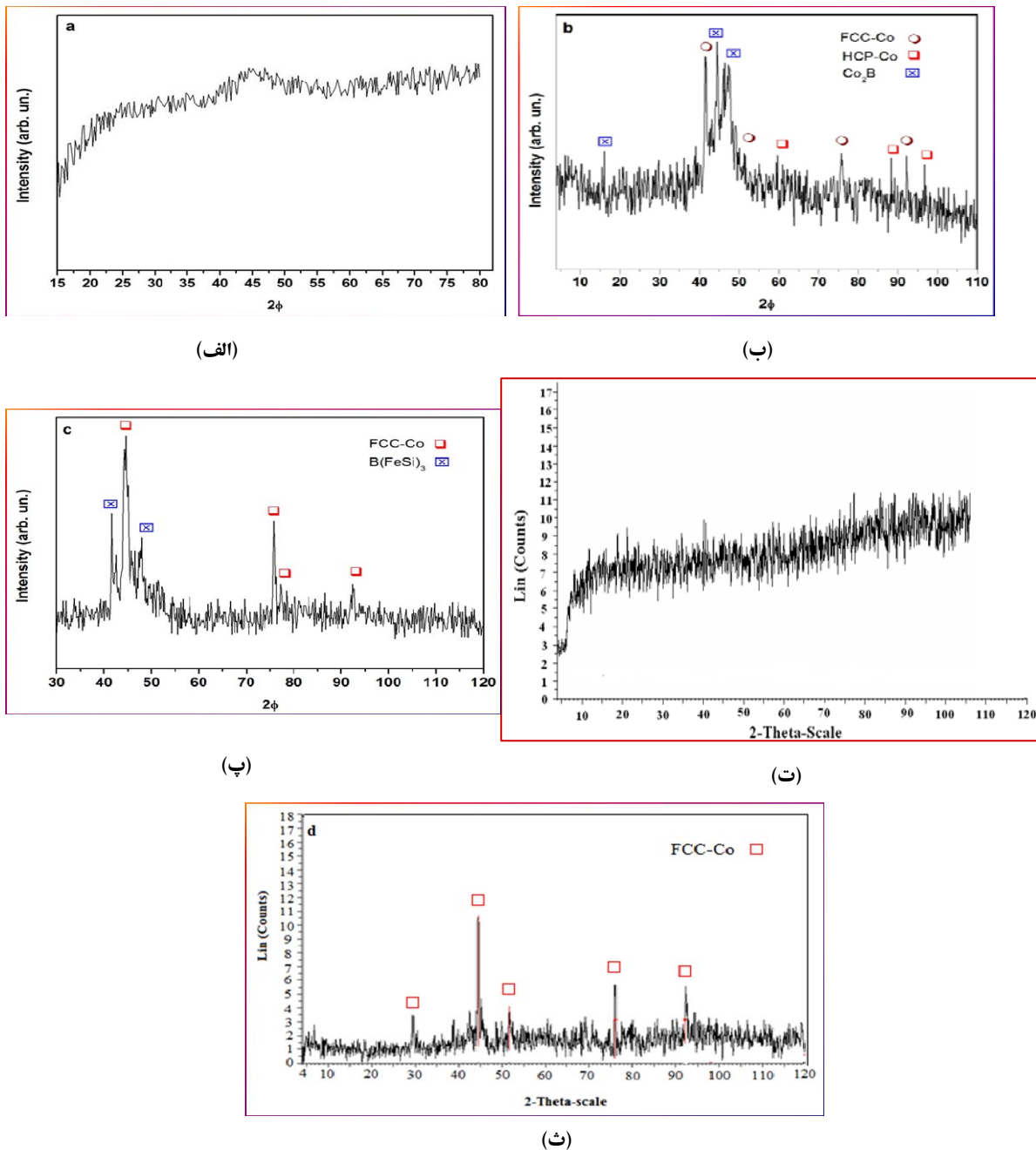
مشخص شده است که آلیاژ بی‌شکل با ترکیب  $\text{Co}_{67}\text{Cr}_{7}\text{Fe}_{4}\text{Si}_{8}\text{B}_{14}$ ، بیشترین اثر مگنتوامپدانس، [7] و خواص مغناطیسی نرم عالی در نتیجه مغناطط تنگشی نزدیک به صفر در حد ( $10^{-7} \text{ A/m}$ ) را دارا می‌باشد [8-9]. بنابراین، مطالعه‌ی رفتار اکسایش سطحی آلیاژ فوق در طول فرایند بلورینگی با توجه به شرایط کاربردی آن، از اهمیت زیادی برخوردار است.

## مواد و روش تحقیق

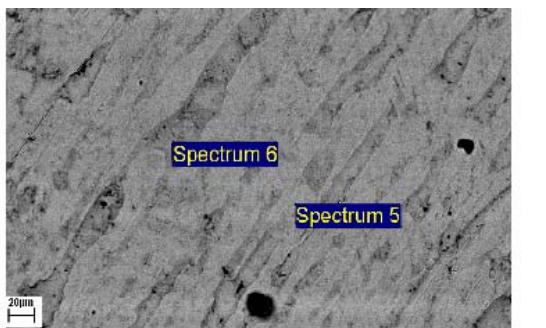
نوارهای آلیاژ بی‌شکل  $\text{Co}_{67}\text{Cr}_{7}\text{Fe}_{4}\text{Si}_{8}\text{B}_{14}$  مورد استفاده در این تحقیق، به‌روش ریخته‌ریسی نوارهای عریض (PFMS) تولید شدند، به‌این ترتیب که آلیاژ همگنی با استفاده از عنصرهایی با خلوص بسیار بالا در یک کوره‌ی خلاء تولید شد. آلیاژ تولید شده با استفاده



شکل ۲ نمودار DTA مربوط به نوار بی‌شکل با ترکیب  $\text{Co}_{67}\text{Fe}_4\text{Cr}_7\text{Si}_8\text{B}_{14}$  با نرخ گرمایش معادل  $10 \text{ K/min}$

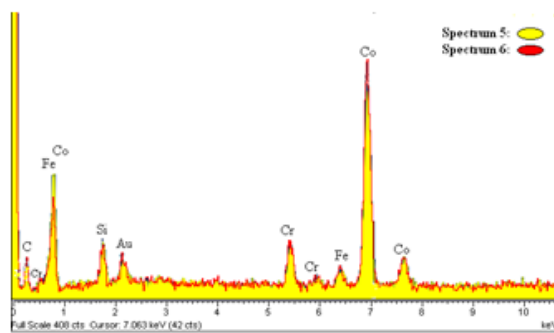


شکل ۳ الگوی پراش پرتوی X مربوط به نمونه‌های آلیاژ بی‌شکل  $\text{Co}_{67}\text{Fe}_4\text{Cr}_7\text{Si}_8\text{B}_{14}$  که به مدت زمان نیم ساعت در دماهای مختلف به صورت هم‌دما تابکاری شدند؛ (الف)  $450^\circ\text{C}$ ، (ب)  $500^\circ\text{C}$ ، (پ)  $550^\circ\text{C}$ ، (ت)  $600^\circ\text{C}$  و (ث)  $650^\circ\text{C}$

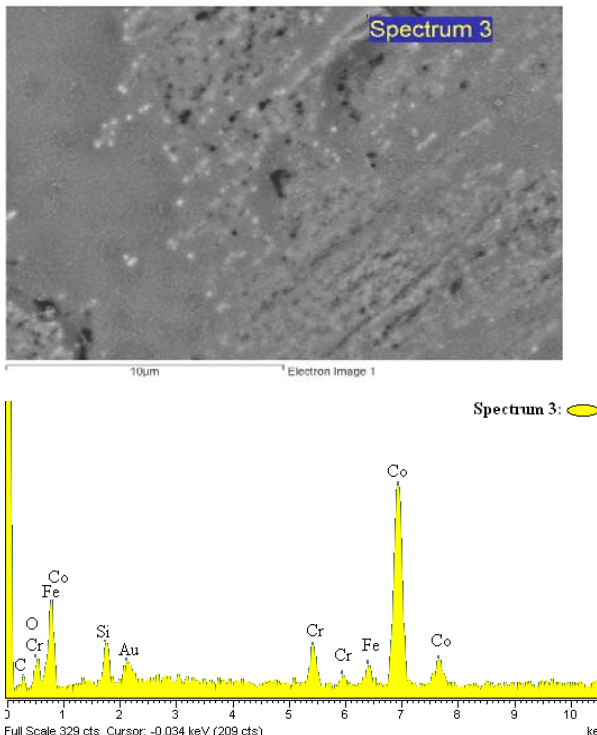


Spectrum 5

Spectrum 6



شکل ۴ آنالیز EDS مربوط به نمونه‌ی تاب کاری شده در دمای  $500^{\circ}\text{C}$  به مدت زمان نیم ساعت که عدم حضور اکسیژن در سطح آلیاز را نشان می‌دهد



Spectrum 3

Spectrum 3:

شکل ۵ آنالیز EDS مربوط به نمونه‌ی تاب کاری شده در دمای  $550^{\circ}\text{C}$  به مدت زمان نیم ساعت. اکسیژن در سطح مشاهده می‌شود.

## نتایج و بحث

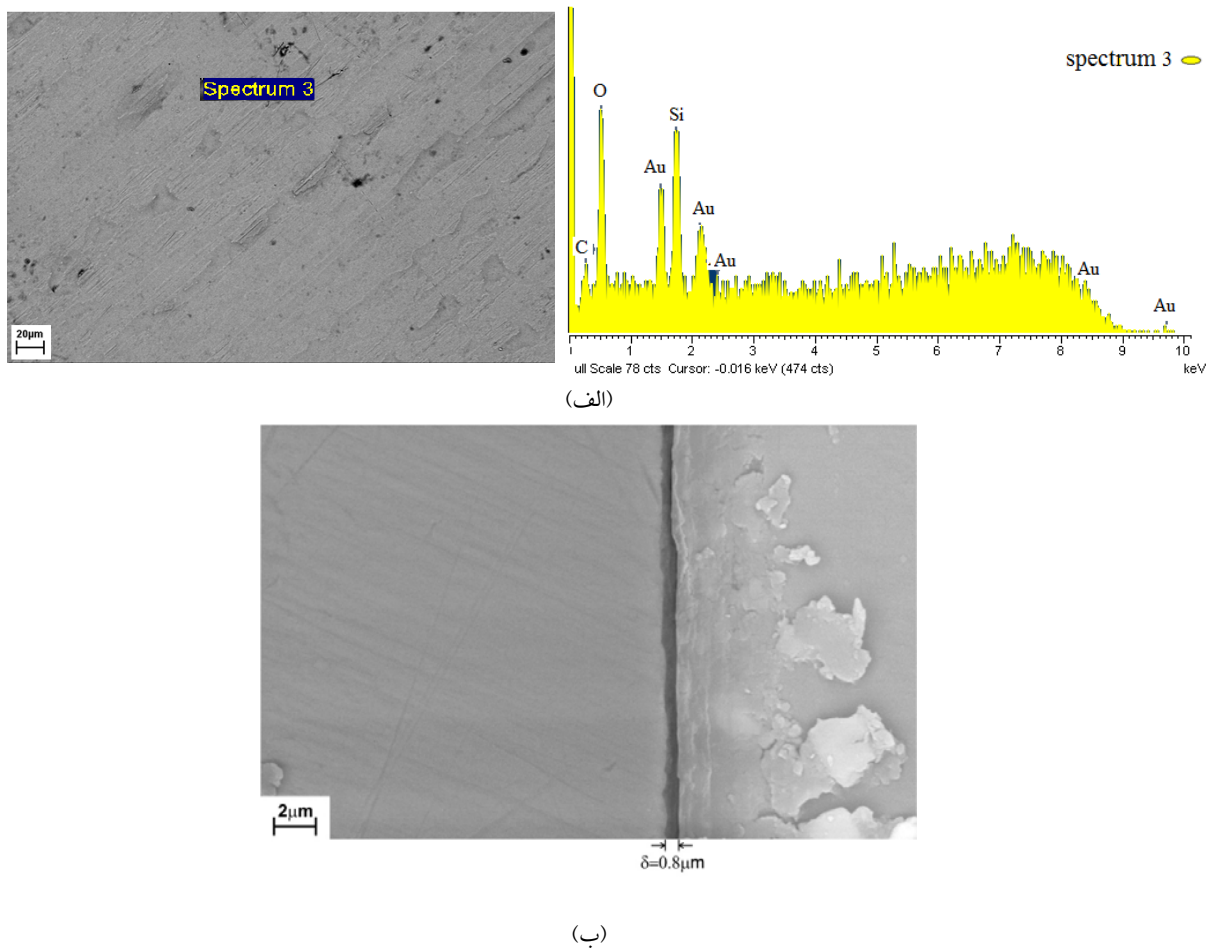
نتیجه‌ی آنالیز حرارتی اختراقی، نمودار DTA در شکل (۲) نشان داده شده است. آلیاز بی‌شکل مورد بررسی، دو مرحله بلورینگی را با توجه به حضور دو پیک گرمایزا در نمودار نشان می‌دهد. با توجه به این نمودار، در شرایط حرارت‌دهی پیوسته، دمای شروع بلورینگی  $490^{\circ}\text{C}$  و دمای پایان آن  $620^{\circ}\text{C}$  می‌باشد.

نتایج بررسی به‌کمک XRD الگوی پراش پرتوی X (XRD) مربوط به نمونه‌های مختلف در شکل (۳) نشان داده شده است. همان‌گونه که در شکل (۳-الف) مشاهد می‌شود، در نمونه‌ای که به طور هم‌دمای در دماهای  $350^{\circ}\text{C}$ ،  $400^{\circ}\text{C}$  و  $450^{\circ}\text{C}$  تاب کاری شده‌اند، هیچ نوع فاز بلورینی توسط نرم‌افزار دستگاه XRD شناسایی نشده است. در نمونه‌ی تاب کاری شده در دمای  $500^{\circ}\text{C}$ ، فازهای FCC-Co و  $\text{Co}_3\text{B}$ , HCP-Co و  $\text{Co}_3\text{B}$  در نمونه‌ی تاب کاری شده در دمای  $550^{\circ}\text{C}$  مشاهده شد (شکل ۳-ب). نشان داده شدن که در شکل (۳-ب) نشان داده شده‌اند. فازهای FCC-Co و  $\text{B}(\text{FeSi})_3$  در نمونه‌ی تاب کاری شده در دمای  $550^{\circ}\text{C}$  مشاهده شدند که در شکل (۳-پ) نشان داده شده‌اند. از شفاف و تیز بودن پیک‌ها می‌توان به تکمیل بلورینگی آلیاز در این دما پی برد. شکل (۳-ت) الگوی پراش پرتوی X نمونه‌ی تاب کاری شده در دمای  $600^{\circ}\text{C}$  را نشان می‌دهد. این الگو مشابه الگوی پراش نمونه‌های تاب کاری شده در دماهای پایین (شکل ۳-الف) می‌باشد که در آن، هیچ فاز بلورینی مشاهده نمی‌شود. الگوی پراش پرتوی X نمونه‌ی تاب کاری شده در دمای  $650^{\circ}\text{C}$  در شکل (۳-ث) نشان داده شده است. این نمونه فقط کمال با شبکه‌ی FCC را نشان می‌دهد. بنابراین، الگوهای پراش نمونه‌های تاب کاری شده در دماهای مختلف حضور ترکیب اکسیدی را نشان نمی‌دهند.

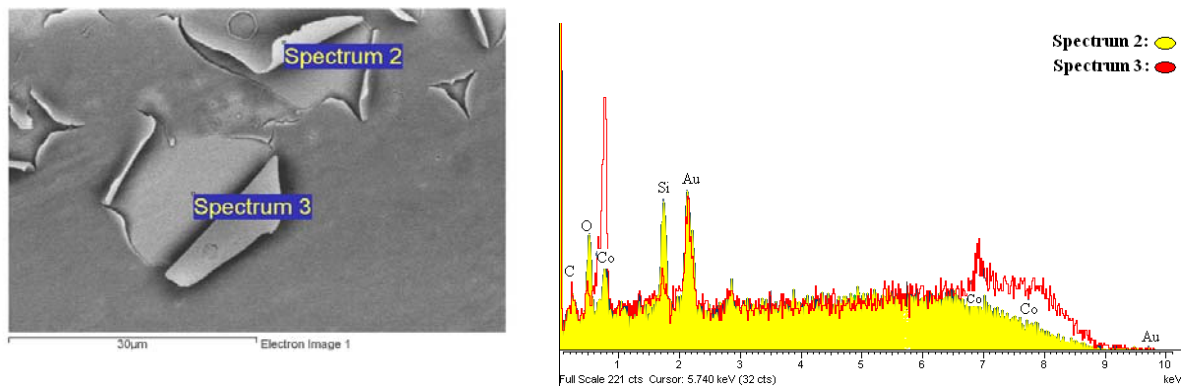
تصویرهای SEM و آنالیز EDS در این مرحله، سطوح نمونه‌های تاب کاری شده به‌کمک SEM و EDS مطالعه شدند. آنالیز EDS نمونه‌ی اولیه و نمونه‌های تاب کاری شده در دماهای  $350^{\circ}\text{C}$ ،  $400^{\circ}\text{C}$  و  $450^{\circ}\text{C}$  مشابه‌اند و هیچ اکسیژنی در سطح مشاهده نمی‌شود (شکل ۴).

نمونه‌ی تابکاری شده در دمای  $625^{\circ}\text{C}$ ، نشان دهنده‌ی ناپیوستگی و ورقه‌ای شدن پوسته‌ی اکسید سطحی می‌باشد (شکل ۷-الف). آنالیز به دست آمده از پوسته‌ی اکسیدی نشان می‌دهد که پوسته‌ی غنی از Si می‌باشد و بنابراین، ترکیب شیمیایی آن  $\text{SiO}_2$  می‌باشد (شکل ۷-ب). در برخی از مناطق که پوسته‌ی اکسیدی ورقه‌ای شده است، ذرات ریزی در سطح توزیع شده‌اند که آنالیز EDS مربوط به این ذرات، حضور  $\text{SiO}_2$  را در کنار  $\text{CoO}$  نشان می‌دهد (شکل‌های ۷-پ و ۷-ت). تصویر SEM مربوط به نمونه‌ی تابکاری شده در دمای  $650^{\circ}\text{C}$ ، ناپیوستگی بیشتر پوسته‌ی اکسیدی را نشان می‌دهد (شکل ۸).

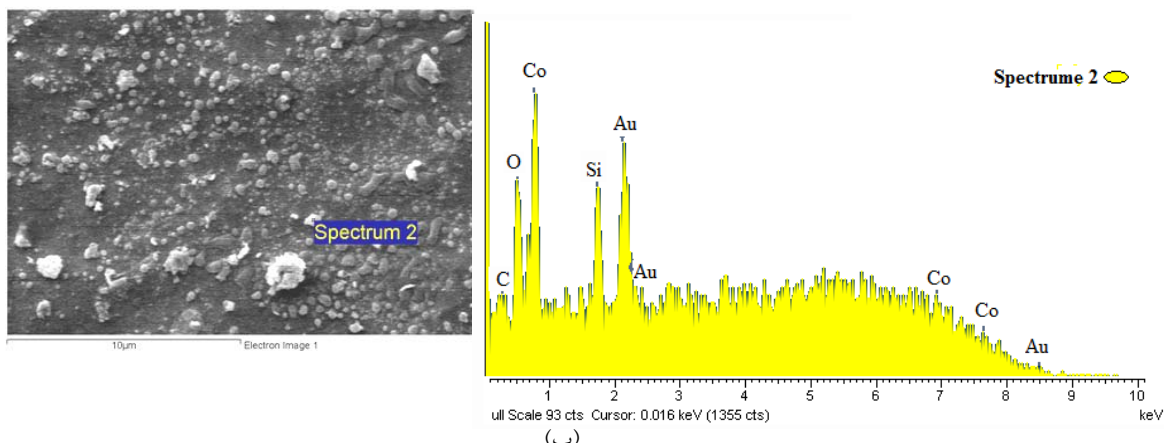
تصویر SEM و آنالیز EDS مربوط به نمونه‌ی تابکاری شده در دمای  $550^{\circ}\text{C}$ ، در شکل (۵) نشان داده شده است. اتم‌های اکسیژن در سطح مشاهده می‌شوند. تصویر SEM از نمونه‌ی تابکاری شده در دمای  $600^{\circ}\text{C}$ ، یک لایه‌ی پیوسته‌ای شکل را بر روی سطح نشان می‌دهد. آنالیز EDS از سطح لایه‌ی اکسیدی غنی از Si را نشان می‌دهد (شکل ۶-الف). تصویر SEM مربوط به مقطع عرضی نمونه‌ی فوق در شکل (۶-ب) نشان داده شده است. پهنه‌ای لایه‌ی اکسیدی که به صورت لایه‌ی تیره رنگی نسبت به بقیه‌ی نوار مشخص است و با ۵ در شکل نشان داده شده است، حدوداً  $8\text{ }\mu\text{m}$  میکرومتر می‌باشد. تصویر SEM از



شکل ۶ نمونه‌ی تابکاری شده در دمای  $600^{\circ}\text{C}$  به مدت زمان نیم ساعت؛ (الف) آنالیز EDS که نشان می‌دهد لایه‌ی اکسید سطحی پیوسته و غنی از Si می‌باشد، (ب) تصویر SEM از مقطع عرضی نمونه که لایه‌ی اکسید سطحی به ضخامت حدود  $8\text{ }\mu\text{m}$  میکرومتر به صورت هاله‌ای تیره رنگ (۸) نسبت به توده‌ی نوار قابل مشاهده است.

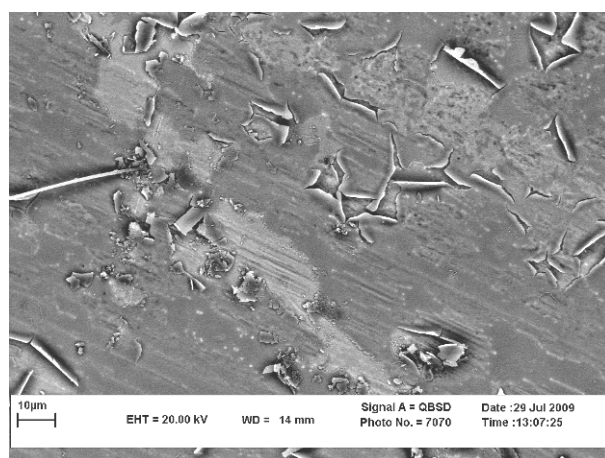


(الف)



(ب)

شکل ۷ نمونه‌ی تاب کاری شده در دمای  $625^{\circ}\text{C}$  به مدت زمان نیم ساعت؛ (الف) آنالیز EDS از پوسته‌ی اکسیدی که نشان می‌دهد ترکیب آن می‌باشد، (ب) آنالیز EDS از ذرات تشکیل شده در مجاورت مناطقی که در آن‌ها پوسته ورقه‌ای شده است. این حضور اکسید کبالت  $\text{SiO}_2$  در مجاورت  $\text{SiO}_2$  را نشان می‌دهد.



شکل ۸ تصویر SEM مربوط به نمونه‌ی تاب کاری شده در دمای  $650^{\circ}\text{C}$  به مدت زمان نیم ساعت. ناپیوستگی بیش‌تر لایه‌ی اکسید سطحی قابل مشاهده است.

به آنالیز پوسته‌ی اکسیدی در دماهای بالاتر (که نشان می‌دهد ترکیب پوسته‌ی اکسیدی  $\text{SiO}_2$  است)، می‌توان گفت که اکسایش سیلیکون اتفاق می‌افتد (شکل ۵)، اما به دلیل ضخامت کم لایه‌ی اکسید تشکیل شده، هیچ فاز اکسیدی در الگوی پراش پرتوی X مربوط به این دما مشاهده نشده است.

با توجه به الگوی پراش به دست آمده برای نمونه‌های تابکاری شده در دماهای بالاتر، می‌توان گفت که ترکیب بوروسیلیکات ناپایدار شده است و بنابراین، درصد یون فلزی (سیلیسیم) بیشتری در معرض اکسیژن قرار می‌گیرد. بنابراین، بر ضخامت و پیوستگی لایه‌ی اکسیدی تشکیل شده افزوده می‌شود و فاز  $\text{SiO}_2$  به شکل لایه‌ی پیوسته‌ای سطح را فرا می‌گیرد. همان‌طور که در مقدمه گفته شد، پوسته‌ی  $\text{SiO}_2$  از ماهیت بی‌شکل برخوردار است و بنابراین، حضور چنین پوسته‌ی پیوسته‌ای در سطح می‌تواند عامل عدم مشاهده فاز بلورین در الگوی پراش پرتوی X مربوط به نمونه‌ی تابکاری شده در دمای  $600^\circ\text{C}$  باشد. در نمونه‌ی تابکاری شده در دمای  $625^\circ\text{C}$  ورقه‌ای شدن پوسته‌ی اکسیدی مشاهده می‌شود. دليل اصلی ورقه‌ای شدن پوسته‌ی اکسیدی همان‌طور که در مقدمه گفته شد، ایجاد تنش در لایه‌ی اکسید سطحی در طول فرایند رشد آن می‌باشد. ایجاد تنش در پوسته‌ی اکسیدی دلایلی دارد که در مقدمه به آن‌ها پرداخته شد: - با توجه به این که پوسته‌ی اکسیدی  $\text{SiO}_2$  با ماهیت بی‌شکل و فشرده بر روی آلیاژ بلورین تشکیل شده است، می‌توان گفت که نسبت PBR در مورد آلیاژ مورد بررسی کوچک‌تر از ۱ است و بنابراین، پوسته‌ی اکسیدی تا حدی تحت تنش‌های کششی می‌باشد.

- با توجه به این که اکسید موجود ( $\text{SiO}_2$ ) دارای ماهیت بی‌شکل می‌باشد و بر روی آلیاژ کبالتی بلورین قرار گرفته است، می‌توان گفت که تنش ایجاد شده در فصل مشترک پوسته‌ی اکسیدی و زیر لایه در نتیجه‌ی اختلاف شبکه‌ی بلوری بین

## بحث

در آلیاژ بی‌شکل پایه کبالت، تمایل برای اکسایش شبه فلزاتی نظریه بور و سیلیسیم خیلی بیشتر از کبالت است. انرژی‌های آزاد گیس فرایند اکسایش در دمای محیط برای این سه عنصر ( $\text{CoO} = 102 \text{ kcal/mol}$ ,  $\text{B}_2\text{O}_3 = 188 \text{ kcal/mol}$ ,  $\text{SiO}_2 = 205 \text{ kcal/mol}$ ) این رفتار را تأیید می‌کنند. بنابراین، رفتار اکسایش آلیاژ مورد مطالعه به صورت ترمودینامیکی با توزیع B و Si در سطح قابل کنترل می‌باشد.

از آنجا که در دماهای پایین انرژی فعال‌سازی برای اکسایش فراهم نیست، هیچ اکسیژنی در آنالیز به دست آمده از سطح مشاهده نشد. با افزایش دما که انرژی فعال‌سازی نفوذ فراهم می‌شود، نفوذ عناصر آلیاژی به‌ویژه بور و سیلیسیم، به طرف سطح افزایش می‌یابد [11]، زیرا این عناصر در مقایسه با سایر عناصر در آلیاژ از شعاع اتمی کم‌تری برخوردارند (جدول ۱) [12]. لازم به ذکر است که در برخی از مراجع، به وجود شبی غلطی این دو عنصر نزدیک به سطح در طول فرایند تهیه‌ی آلیاژ بی‌شکل نیز اشاره شده است [13].

جدول ۱ شعاع اتمی عناصر مختلف مورد استفاده در

آلیاژ مورد مطالعه [12]

عنصر	نماد	شعاع اتمی (nm)
بور	B	۰/۰۸۲۰۰
سیلیسیم	Si	۰/۱۱۵۳۰
آهن	Fe	۰/۱۲۴۱۲
کروم	Cr	۰/۱۲۴۹۱
کبالت	Co	۰/۱۲۵۱۰

با توجه به نتیجه‌ی آنالیز XRD مربوط به دمای  $550^\circ\text{C}$  (شکل ۳-پ) که تشکیل فاز  $\text{B}(\text{FeSi})_3$  را نشان می‌دهد، می‌توان گفت که غلظت عناصر B و Si در سطح افزایش یافته است و مجموع غلظت آن‌ها در سطح بیش از توزیع بحرانی (۲۱ درصد) شده است، بنابراین فاز سیلیکون بورید تشکیل شده است. با توجه

است، نمی‌تواند در برابر تنש‌های اعمالی مقاومت کند و بنابراین، دچار پارگی و ورقه‌ای شدن می‌شود.

در نزدیکی پوسته‌ی ورقه‌ای شده، به‌دلیل آن‌که اتم‌های اکسیژن می‌توانند با کبالت تماس داشته باشند،  $\text{CoO}$  تشکیل می‌شود (شکل‌های ۷-الف، ۷-ب).  $\text{CoO}$  با تابکاری هم‌دما در  $450^{\circ}\text{C}$ ، می‌توان گفت که سازوکار مطرح شده باشد بیشتری اتفاق می‌افتد و در نتیجه، ورقه‌ای شدن در سطح وسیع‌تری مشاهده می‌شود.

#### نتیجه‌گیری

- در آلیاژ بی‌شکل  $\text{Co}_{0.7}\text{Cr}_7\text{Fe}_4\text{Si}_8\text{B}_{14}$ . دو مرحله از بلورینگی مشاهده شد. دمای شروع بلورینگی  $490^{\circ}\text{C}$  و دمای پایان بلورینگی  $620^{\circ}\text{C}$  به‌دست آمد.
- اکسایش سطحی آلیاژ بی‌شکل  $\text{Co}_{0.7}\text{Cr}_7\text{Fe}_4\text{Si}_8\text{B}_{14}$  بعد از تابکاری هم‌دما در دماهای  $350^{\circ}\text{C}$ ،  $400^{\circ}\text{C}$ ،  $450^{\circ}\text{C}$ ،  $500^{\circ}\text{C}$ ،  $550^{\circ}\text{C}$ ،  $600^{\circ}\text{C}$  درجه‌ی سانتی‌گراد مطالعه شد. هیچ ترکیب اکسیدی در الگوهای پراش پرتوی X مربوط به نمونه‌های تابکاری شده مشاهده نشد.
- در آنالیز EDS مربوط به نمونه‌های تابکاری شده در دمای کمتر از  $550^{\circ}\text{C}$ ، اکسیژن مشاهده نشد، اما در نمونه‌ی تابکاری شده در دمای  $550^{\circ}\text{C}$  اکسیژن دیده شد. با افزایش دمای تابکاری تا  $600^{\circ}\text{C}$ ، یک پوسته‌ی پیوسته با ترکیب  $\text{SiO}_2$  در سطح نوار تشکیل شد. افزایش دما بعد از آن منجر به ورقه‌ای شدن پوسته‌ی اکسیدی شد و اکسایش کبالت در مناطقی که پوسته‌ی اکسیدی از سطح جدا شده بود، اتفاق افتاد.

پوسته و زیر لایه، ناچیز است.

- با توجه به نتایج EDS، نوع اکسید در طول فرایند اکسایش آلیاژ ثابت است، بنابراین ایجاد تنش در نتیجه‌ی تبدیل یک نوع اکسید به نوع دیگر با چگالی و حجم متفاوت حین رشد پوسته‌ی اکسیدی متغیر است.

- عامل شکل هندسی در ایجاد تنش در نمونه‌ی مورد بررسی که به صورت نوار نازکی است، مطرح نمی‌باشد.

- در ارتباط با امکان ایجاد حفره‌هایی در مرز بین پوسته‌ی اکسیدی و زیر لایه در طول رشد پوسته‌ی اکسیدی، می‌توان گفت که از یک سو در مواد بی‌شکل جاهای خالی اتمی به صورت فوق اشباع هستند، [14]، و مکان‌های حذف جای خالی اتمی نظیر نابجایی و مرز دانه در این دسته از مواد وجود ندارند، [14]، و با افزایش دما، جاهای خالی اتمی موجود شرایط نفوذ راحت‌تر سیلیسیم به طرف سطح را فراهم می‌کنند. هم‌زمان با شروع فرایند بلورینگی، سطح آزاد تنها راه خروج جاهای خالی اتمی از توده‌ی فلز می‌باشد، بنابراین با افزایش دما نفوذ جای خالی اتمی به طرف سطح افزایش می‌یابد. با اکسایش بیش‌تر سیلیسیم، غلظت جای خالی اتمی در مرز بین زیر لایه و پوسته‌ی اکسیدی زیاد می‌شود و به دنبال آن، به‌هم پیوستن جاهای خالی اتمی و تشکیل حفره‌ها اتفاق می‌افتد و این، جدایش پوسته از سطح را به‌دبای دارد. از آن‌جا که پوسته‌ی اکسیدی با ماهیت بی‌شکل و قابلیت تغییر شکل کم (یکی از ویژگی‌های مواد بی‌شکل) سطح را فرا گرفته است و نیز، تحت تنش‌های کششی

#### مراجع

1. Byun, T.Y., Oh, Y., Yoon, C.S. and Kim, C.K., "Crystallization and Magnetic Properties of  $(\text{Co}_{0.75}\text{Cr}_{0.25})_{80}\text{Si}_5\text{B}_{15}$  Metallic Glass", Alloys and Compounds, Vol. 368, pp. 283-286, (2004).
2. Rho, I.C., Yoon, C.S., Kim, C.K., Byun, T.Y. and Hong, K.S., "Crystallization of  $\text{Co}_{68}\text{Fe}_4\text{Cr}_4\text{Si}_{13}\text{B}_{11}$  Amorphous Alloy", Materials Science B, Vol. 96, pp. 48-52, (2002).

3. Yuan, Z.Z., Chen, X.D., Wang, B.X. and Chen, Z.J., "Crystallization Kinetics of Melt-spun  $\text{Co}_{43}\text{Fe}_{20}\text{Ta}_{5.5}\text{B}_{31.5}$  Amorphous Alloy", Alloys and Compounds, Vol. 399, pp. 166-172, (2005).
4. Minić, D.M., Maričić, A., Dimitrijević, R.Z. and Ristić, M.M., "Structural Changes of  $\text{Co}_{70}\text{Fe}_5\text{Si}_{10}\text{B}_{15}$  Amorphous Alloy Induced During Heating", Alloys and Compounds, Vol. 430, pp. 241-245, (2007).
5. Kim, C.K., Yoon, C.S., Byun, T.Y. and Hong, K.S. "Oxidation of Amorphous  $\text{Co}_{75.26-x}\text{Fe}_{4.74}(\text{BSi})_{20+x}$  Magnetic Alloy", Oxidation of metals, Vol. 55, pp. 177-187, (2001).
6. Khanna, A.S., "Introduction to high temperature oxidation and corrosion", ASM international Publication, New York, pp. 35-70, (2002).
7. Kumari, S., Chattoraj, I., Panda, A. K., Mitra, A. and Pal, S.K., "Effect of Fe addition on the magnetic and giant magneto-impedance behaviour of CoCrSiB rapidly solidified alloys", Vol. 39, pp. 212-217, (2001).
8. Kraus, L., Pirota, K.R., Torrejón, J. and Vázquez, M., "Magneto static Bias in Soft/Hard Bi-phase Layered Materials Based on Amorphous Ribbons and Micro wires", Non-crystalline solids, Vol. 353, pp. 763-767, (2007).
9. Kraus, L., Fendrych, F., Švec, P., Bydžovský, J. and Kollár, M., "Cobalt Rich Amorphous Ribbons for Strain Sensing in Civil Engineering", optoelectric advanced material, Vol. 4, pp. 237-243, (2002).
10. Haddad-Sabzevar, M., "Ribbon formation and solidification behavior in planar flow melt spinning process", Ph.D Thesis, Stockholm, (1994).
11. Hsieh, H.H., Kai. W., Huang, R.T., Lim, C.Y. and Chin, T.S., "Air oxidation of an  $\text{Fe}_{72}\text{B}_{22}\text{Y}_6$  bulk amorphous alloy at 600–700°C", Intermetallics, Vol. 14, pp. 917-923, (2006).
12. Senkov, O.N., Miracle, D.B., "Effect of the atomic size distribution on glass forming ability of amorphous metallic alloys", Materials Research Bulletin, Vol. 36, pp. 2183-2198, (2001).
13. Kyung, H., Ahnn, H.S., Yoon, C.S., Kim, C.K., O. Song, "Defect study of crystallized amorphous Co-rich magnetic alloy", Material Science and Engineering B, Vol. 95, pp. 88-94, (2002).
14. Beck, H., Güntherodt, H.J., "Glassy Metals III", Springer-Verlag Publication, Berlin, PP. 222-225, (1994).